



西南交通大学  
Southwest Jiaotong University

自动控制原理

第七章

# 非线性控制系统分析

任课教师： 马磊

电气工程学院

2020



# 第七章 非线性控制系统的分析

7.0 非线性系统及其线性化

7.1 描述函数法

7.2 非线性系统的描述函数分析

7.3 相平面法

7.2 非线性系统的相平面分析

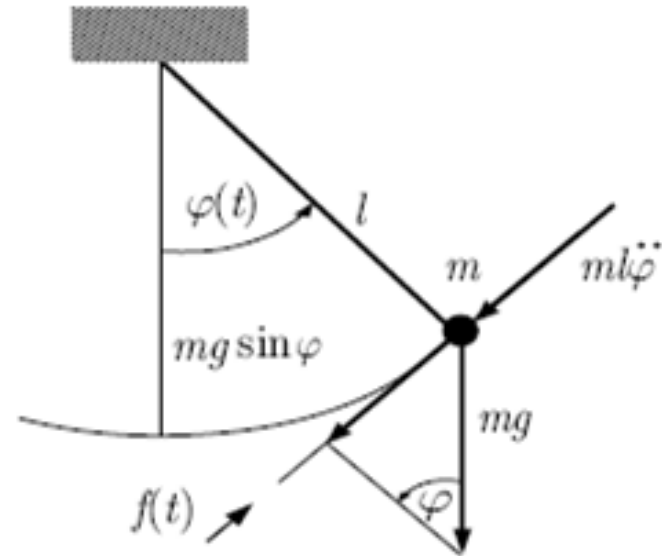
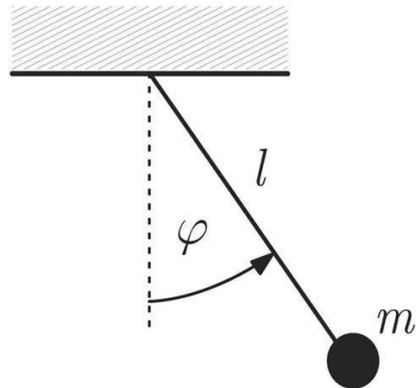


# 7.0 非线性系统及其线性化

- 非线性微分方程及其线性化
- 增益调度控制（Gain scheduling control）

# 非线性微分方程

## ■ 单摆的非线性微分方程





# 非线性微分方程的线性化

- 设激励 $x(t)$ 与响应 $y(t)$ 之间为非线性关系

$$y(t) = g(x(t)) \quad (2.2)$$

可在工作点 $x_0$ 处展开成泰勒级数

$$y = g(x) = g(x_0) + \left. \frac{dg}{dx} \right|_{x=x_0} \frac{(x-x_0)}{1!} + \left. \frac{d^2g}{dx^2} \right|_{x=x_0} \frac{(x-x_0)^2}{2!} + \dots \quad (2.3)$$



# 非线性微分方程的线性化

取一次项可得到

$$\Delta y = K \Delta x, \quad (2.4)$$

其中

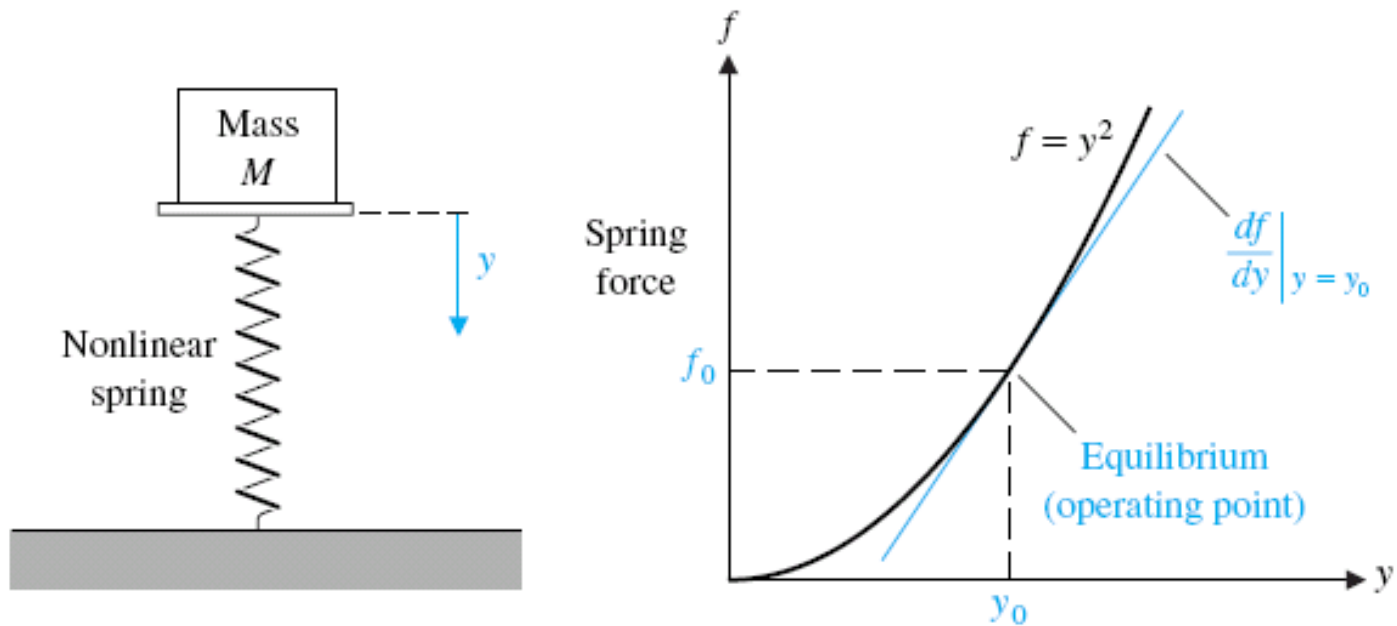
$$\Delta y = y - y_0 = y - g(x_0)$$

$$\Delta x = x - x_0$$

$$K = \left. \frac{dg}{dx} \right|_{x=x_0}$$

这种线性化是针对的“非本质”非线性数学模型，在工作点附近的小信号分析。

# 非线性微分方程的线性化



非线性弹簧的弹力与位移的关系为

$$\Delta f = m \Delta y$$



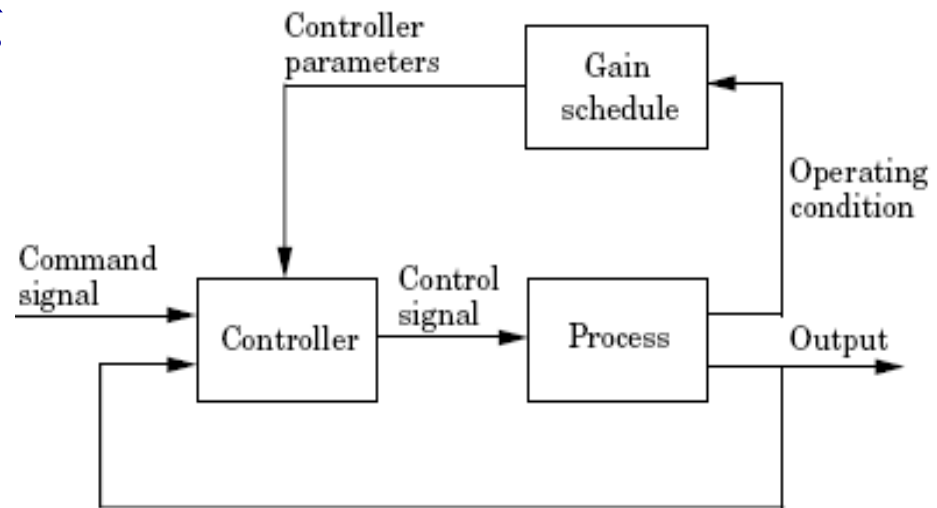
# 非线性系统线性化及其控制

- 许多非线性系统可以在工作点附近用上述方法线性化，然后用经典控制理论的方法进行控制器设计
- 问题：
  - 不适用于“本质非线性系统”
  - 对有多个工作点的系统需要进行扩展



# 增益调度控制

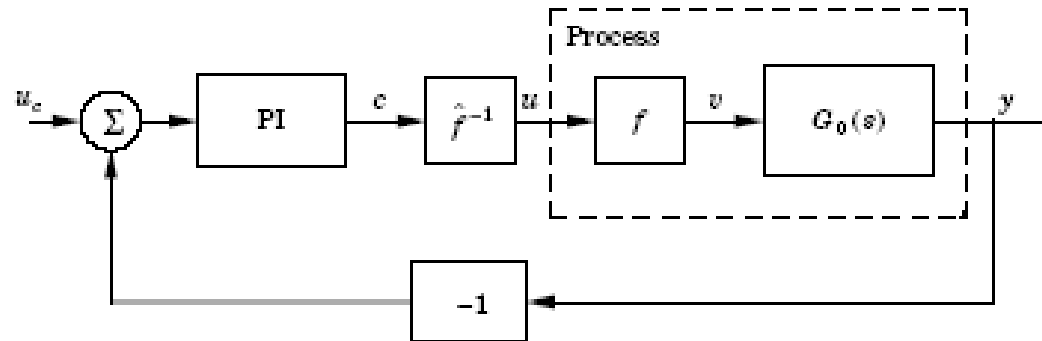
- ▶ 原则：根据调度参数变化调整控制器参数
- ▶ 对控制器参数的调节在开环中完成
- ▶ 调度参数举例
  - 生产率
  - 机器速度
  - （飞机）马赫数
  - ...



Aström & Wittenmark

# 增益调度：非线性执行机构

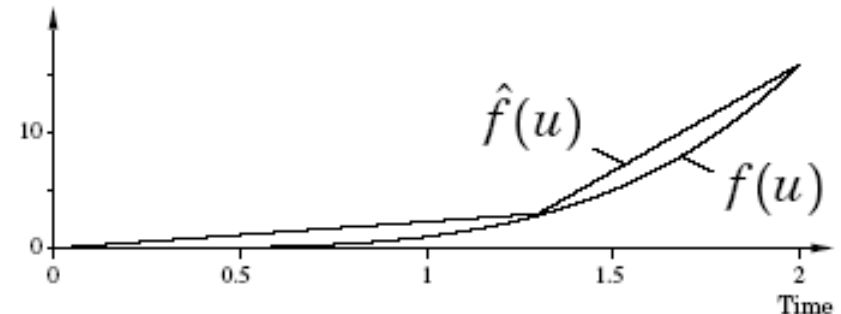
- ▶ 用分段线性函数近似非线性环节，并求其逆函数
- ▶ 用以上逆函数（部分抵消）非线性环节的影响，使闭环回路总体上呈线性特性



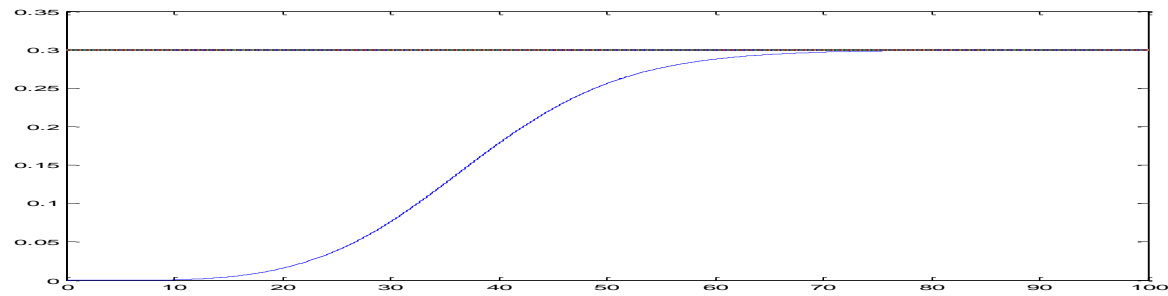
$$v = f(u) = u^4$$

$$v = f(u) = f(\hat{f}^{-1}(c))$$

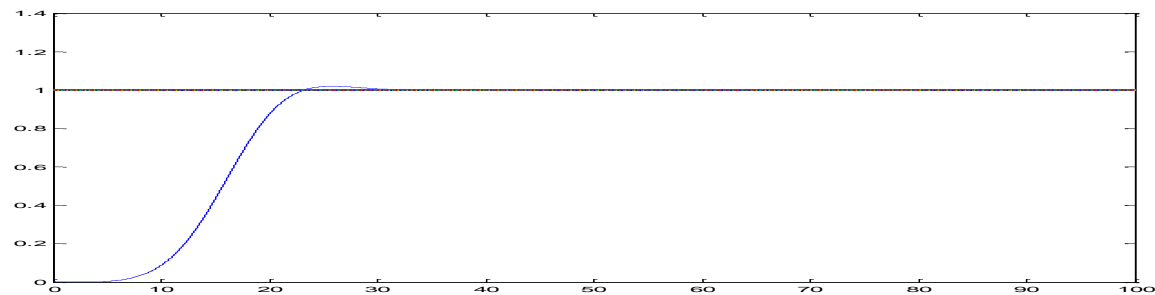
$$\hat{f}^{-1}(c) = \begin{cases} 0.433c & 0 \leq c \leq 3 \\ 0.0583c + 1.139 & 3 \leq c \leq 16 \end{cases}$$



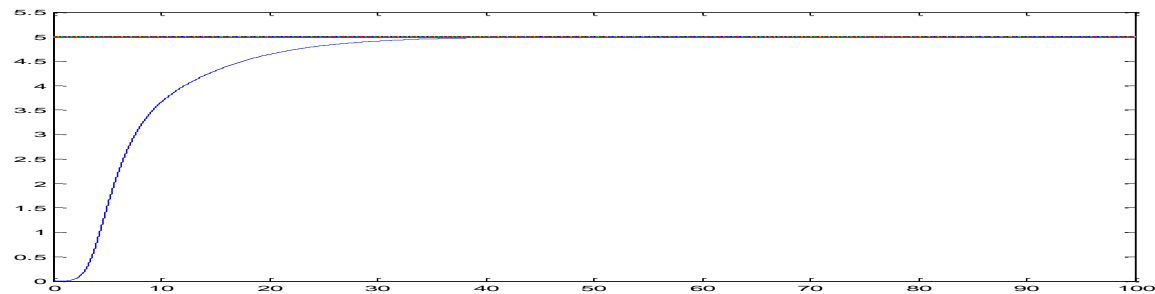
$u_c=0.3$



$u_c=1$



$u_c=5$



# 增益调度：航向控制

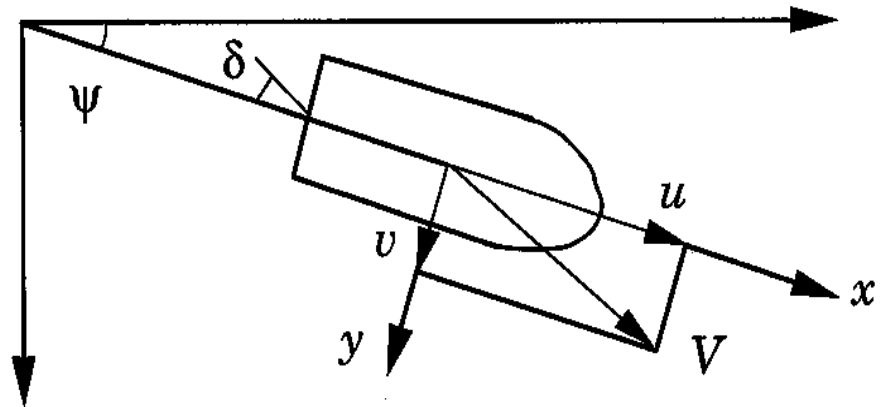
- 用尾舵转向  $\delta$  控制轮船航向  $\psi$  .
- 动态模型与标准航速  $u_{nom}$  有关

$$\dot{x} = \begin{pmatrix} 0 & 1 \\ 0 & -a \end{pmatrix} x + \begin{pmatrix} 0 \\ b \end{pmatrix} \delta$$

$$\psi = [1 \quad 0]x$$

with :

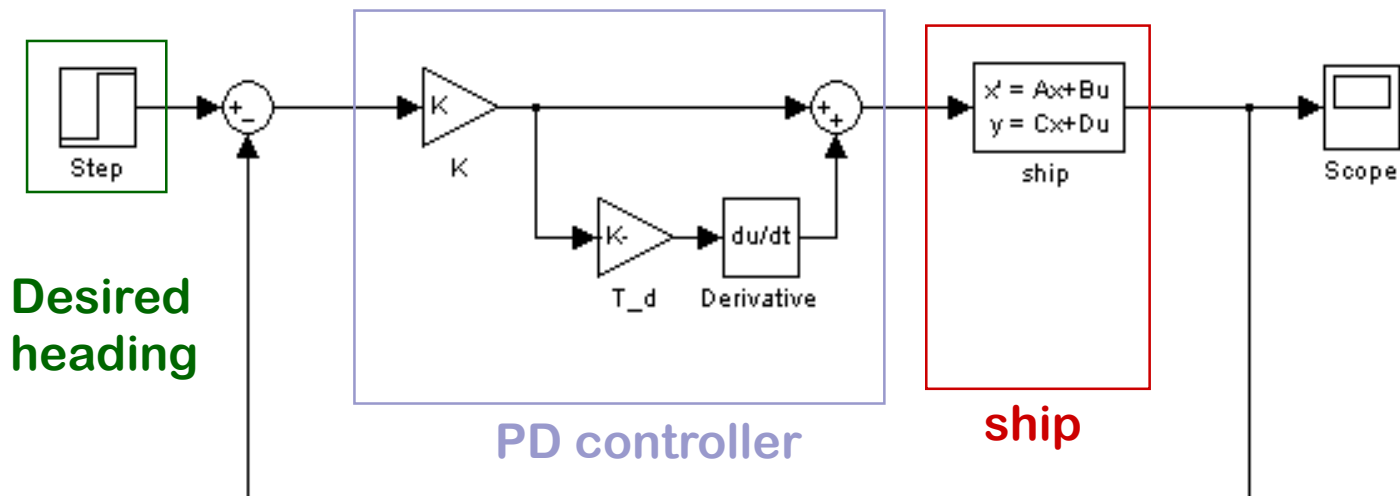
$$a = a_{nom} \frac{u_{actual}}{u_{nom}}, \quad b = b_{nom} \left( \frac{u_{actual}}{u_{nom}} \right)^2$$



Aström & Wittenmark

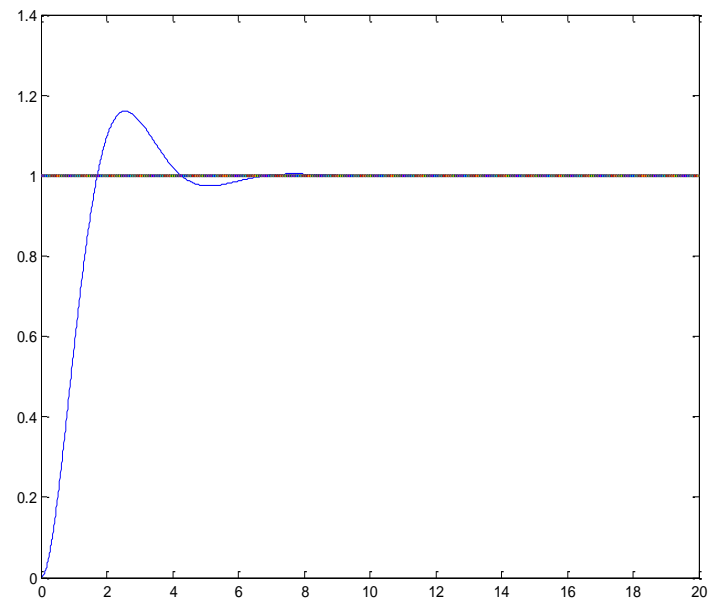
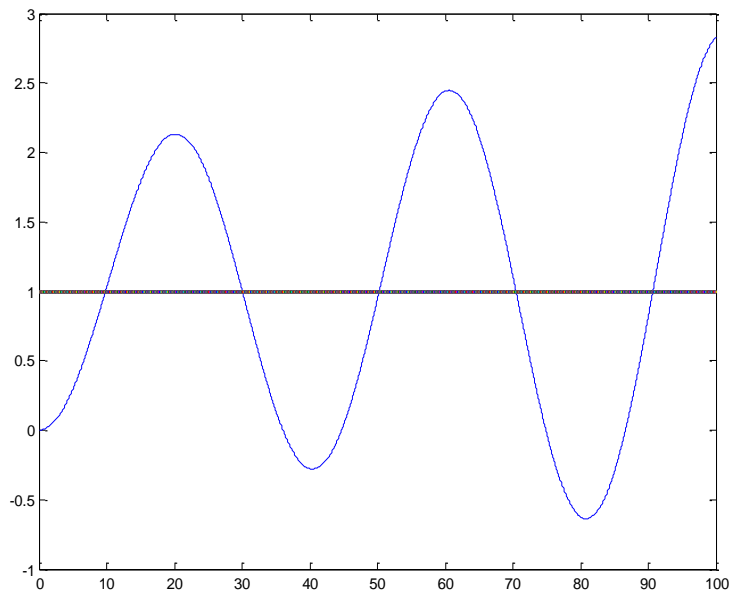
# 增益调度：航向控制

- PD 控制器，  $K=2.5$ ，  $T_d=0.86$ .



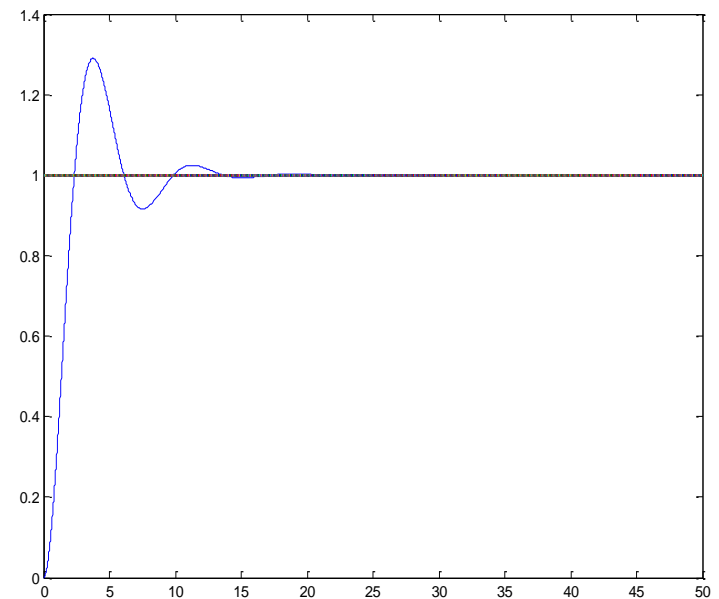
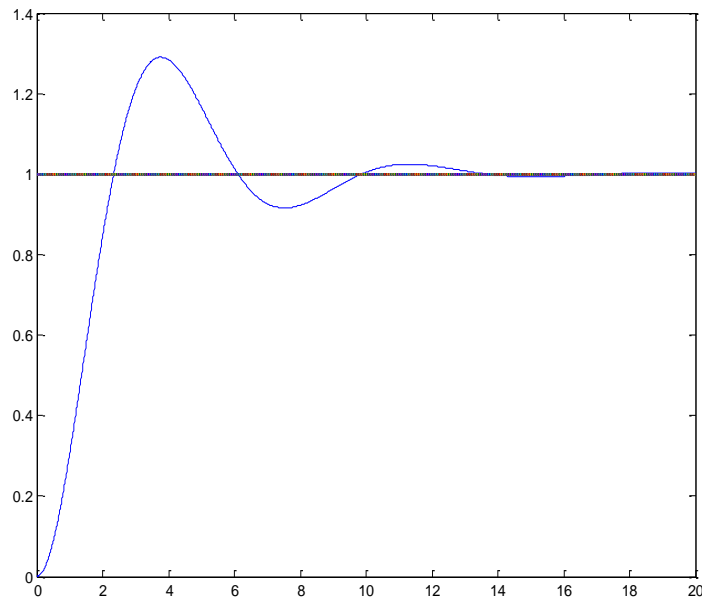
# 增益调度：航向控制

- 当  $u_{actual} < 0.17 * u_{nom}$  时系统不稳定
- 右图:  $u = u_{nom} = 10m/s$
- 左图:  $u = 0.11 u_{nom} = 1.1m/s$



# 增益调度：航向控制

- 采用增益调度, 令  $K$  与  $u^2$  成反比, 系统对  $u$  敏感度降低, 在  $u=0.11u_{nom}$  时仍稳定
- 右图:  $u=u_{nom}=10\text{m/s}$
- 左图:  $u=0.11u_{nom}=1.1\text{m/s}$





# 增益调度总结

- 应用广泛
- 需要较精确模型
- 需要较好的操作经验
- 应考虑的问题：
  - 调度参数的选择
  - 调度表细化
  - 插值
  - 避免参数跳变 → 控制量跳变
  - 操作界面





# 7.1 描述函数法

## 描述函数法的基本思想：

在一定条件下，非线性环节在正弦信号作用下的输出，可用其一次谐波分量来近似，从而将**非线性系统**等效为**线性系统**；于是可将线性系统的频域法，推广用来分析研究非线性系统的稳定性和自持振荡问题。

描述函数也是非线性特性的一种线性化处理，称为**谐波线性化**。

第二章中讨论的非线性模型的线性化方法，是基于平衡态附近的小信号分析的线性化，仅适用于**非本质非线性系统**。



## 7.1.1 描述函数

设非线性环节的输入信号为正弦函数：

$$x(t) = A \sin \omega t \quad (7.1)$$

非线性环节的**输出信号**通常是非正弦周期函数，其周期与输入信号的周期相同。于是，可将输出  $y(t)$  展开成傅立叶级数：

$$\begin{aligned} y(t) &= \frac{A_0}{2} + \sum_{n=1}^{\infty} (A_n \cos n\omega t + B_n \sin n\omega t) \\ &= y_0 + \sum_{n=1}^{\infty} y_n \sin(n\omega t + \varphi_n) \end{aligned} \quad (7.2)$$

式中：  $A_n = \frac{1}{\pi} \int_0^{2\pi} y(t) \cos n\omega t d(\omega t), \quad B_n = \frac{1}{\pi} \int_0^{2\pi} y(t) \sin n\omega t d(\omega t)$

$$y_n = \sqrt{A_n^2 + B_n^2}, \varphi_n = \operatorname{tg}^{-1} \frac{A_n}{B_n}, n = 1, 2, \dots$$



## 7.1.1 描述函数

假定:

- a) **非线性环节**的输入输出特性是**奇对称**的, 即  $y(-x) = -y(x)$ , 于是直流分量  $y_0 = 0$ ;
- b) **线性部分**  $G(j\omega)$  具有良好的**低通滤波特性**, 于是  $y(t)$  中的高次谐波分量通过  $G(j\omega)$  后将被大幅削弱。

输出  $y(t)$  的一次谐波分量(基波分量)

$$\begin{aligned} y_1(t) &= A_1 \cos \omega t + B_1 \sin \omega t \\ &= y_1 \sin(\omega t + \varphi_1) \end{aligned}$$



## 7.1.1 描述函数

**非线性环节的描述函数**定义为，在正弦输入时该环节输出的基波分量与输入信号的复数符号之比，即：

$$\begin{aligned} N &= \frac{y_1}{A} e^{j\varphi_1} \\ &= \frac{\sqrt{A_1^2 + B_1^2}}{A} \angle \operatorname{tg}^{-1} \frac{A_1}{B_1} \\ &= \frac{B_1}{A} + j \frac{A_1}{A} \end{aligned} \quad (7.3)$$

式中：

- $N$  为非线性环节的**描述函数**；
- $A$  为正弦输入信号的幅值；
- $y_1$  为输出信号基波分量的幅值；
- $\varphi_1$  为输出信号基波分量的相移角。



## 7.1.1 描述函数

若非线性环节中不含储能元件

$$N = N(A)$$

若非线性环节中 含有储能元件

$$N = N(A, \omega)$$

## 7.1.2 典型非线性特性的描述函数

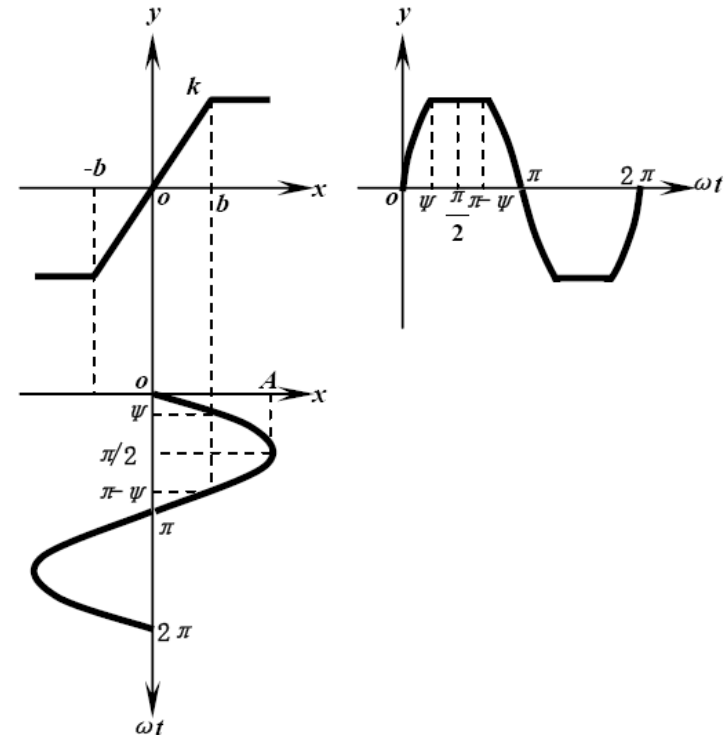


### <例7.1> 饱和非线性特性的描述函数

**饱和非线性特性**是一种单值非线性函数，其输出函数为：

$$y(t) = \begin{cases} kA \sin \omega t & 0 \leq \omega t \leq \psi \\ kb & \psi \leq \omega t \leq \pi / 2 \end{cases}$$

$$b = A \sin \psi, \psi = \sin^{-1} \frac{b}{A}$$



由于饱和非线性特性是单值奇对称的， $y(t)$ 为奇函数，故  
 $A_0 = 0; A_1 = 0, j \neq 1 = 0$

## 7.1.2 典型非线性特性的描述函数

$$\begin{aligned}
 B_1 &= \frac{1}{\pi} \int_0^{2\pi} y(t) \sin \omega t d(\omega t) = \frac{4}{\pi} \left[ \int_0^\psi kA \sin^2 \omega t d(\omega t) + \int_{\frac{\pi}{2}}^{\frac{\pi}{2}} kb \sin \omega t d(\omega t) \right] \\
 &= \frac{4}{\pi} \left[ \int_0^\psi \frac{kA}{2} (1 - \cos 2\omega t) d(\omega t) + \int_{\frac{\pi}{2}}^{\frac{\pi}{2}} kb \sin \omega t d(\omega t) \right] \\
 &= \frac{4kA}{\pi} \left\{ \left[ \frac{1}{2} \omega t - \frac{1}{4} \sin 2\omega t \right]_0^\psi + \frac{b}{A} \left[ -\cos \omega t \right]_{\frac{\pi}{2}}^{\frac{\pi}{2}} \right\} \\
 &= \frac{4kA}{\pi} \left[ \frac{1}{2} \psi - \frac{1}{4} \sin 2\psi + \frac{b}{A} \cos \psi \right] \\
 &= \frac{4kA}{\pi} \left[ \frac{1}{2} \sin^{-1} \frac{b}{A} - \frac{2}{4} \sin \psi \cos \psi + \frac{b}{A} \cos \psi \right] \\
 &= \frac{4kA}{\pi} \left[ \frac{1}{2} \sin^{-1} \frac{b}{A} + \frac{1}{2} \cos \psi \right] = \frac{2kA}{\pi} \left[ \sin^{-1} \frac{b}{A} + \frac{b}{A} \sqrt{1 - \left( \frac{b}{A} \right)^2} \right], (A \geq b)
 \end{aligned}$$



## 7.1.2 典型非线性特性的描述函数

于是可得到饱和非线性特性的描述函数为：

$$N(A) = \frac{B_1}{A} = \frac{2k}{\pi} \left[ \sin^{-1} \frac{b}{A} + \frac{b}{A} \sqrt{1 - \left( \frac{b}{A} \right)^2} \right], (A \geq b) \quad (7.4)$$

为输入信号幅值 $A$ 的实函数.



## 7.1.2 典型非线性特性的描述函数



**<例7.2>** 具有**滞环和死区**的继电型非线性特性的描述函数；

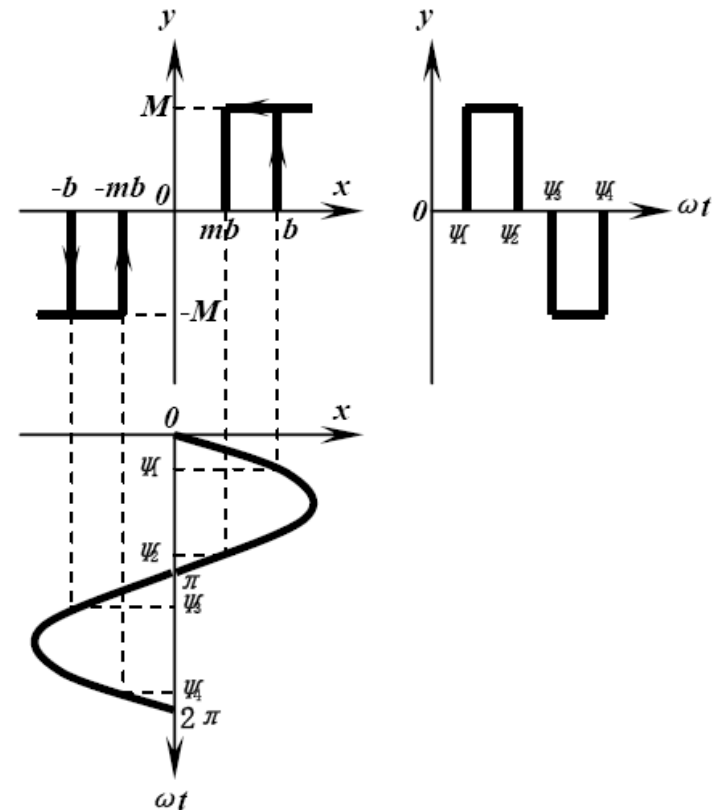
具有滞环和死区的继电型非线性特性是非单值的，其输出函数为：

$$y(t) = \begin{cases} 0 & 0 \leq \omega t \leq \psi_1 \\ M & \psi_1 \leq \omega t \leq \psi_2 \\ 0 & \psi_2 \leq \omega t \leq \pi \end{cases}$$

其中，

$$b = A \sin \psi_1, \psi_1 = \sin^{-1} \frac{b}{A}$$

$$mb = A \sin(\pi - \psi_2), \psi_2 = \pi - \sin^{-1} \frac{mb}{A}$$



## 7.1.2 典型非线性特性的描述函数

$y(t)$  既非奇函数也非偶函数,

$A_1 \neq 0, B_1 \neq 0$  但是  $A_0 = 0$

$$\begin{aligned} A_1 &= \frac{1}{\pi} \int_0^{2\pi} y(t) \cos \omega t d(\omega t) = \frac{2}{\pi} \int_0^{\pi} y(t) \cos \omega t d(\omega t) \\ &= \frac{2}{\pi} \int_{\psi_1}^{\psi_2} M \cos \omega t d(\omega t) = \frac{2M}{\pi} [\sin \psi_2 - \sin \psi_1] \\ &= \frac{2Mb}{\pi A} (m-1), \quad (A \geq b) \end{aligned}$$



## 7.1.2 典型非线性特性的描述函数

$$\begin{aligned} B_1 &= \frac{1}{\pi} \int_0^{2\pi} y(t) \sin \omega t d(\omega t) = \frac{2}{\pi} \int_{\psi_1}^{\psi_2} M \sin \omega t d(\omega t) \\ &= -\frac{2M}{\pi} [\cos \psi_2 - \cos \psi_1] \\ &= \frac{2M}{\pi} \left[ \sqrt{1 - \left( \frac{b}{A} \right)^2} + \sqrt{1 - \left( \frac{mb}{A} \right)^2} \right], \quad (A \geq b) \\ &\left( \cos \psi_2 = -\cos \left( \sin^{-1} \frac{mb}{A} \right) = \sqrt{1 - \left( \frac{mb}{A} \right)^2} \right) \end{aligned}$$



## 7.1.2 典型非线性特性的描述函数

于是可得具有滞环和死区的继电型非线性特性的描述函数为：

$$N(A) = \frac{B_1}{A} + j \frac{A_1}{A}$$
$$= \frac{2M}{\pi A} \left[ \sqrt{1 - \left(\frac{b}{A}\right)^2} + \sqrt{1 - \left(\frac{mb}{A}\right)^2} \right] + j \frac{2Mb}{\pi A^2} (m-1), (A \geq b)$$

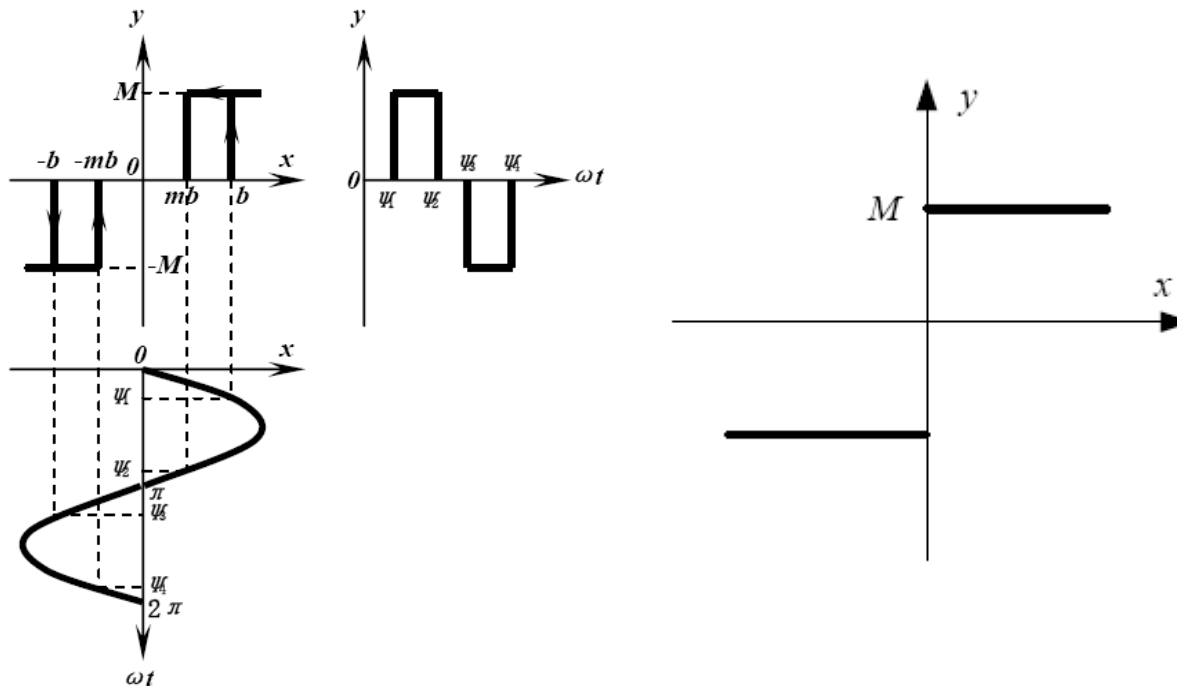
(7.5)

为与输入振幅**A**有关的复函数，输出的基波分量的相角滞后于输入信号的相角。

## 7.1.2 典型非线性特性的描述函数

(7.5)式中,  $b=0$ , 为理想继电型特性的描述函数:

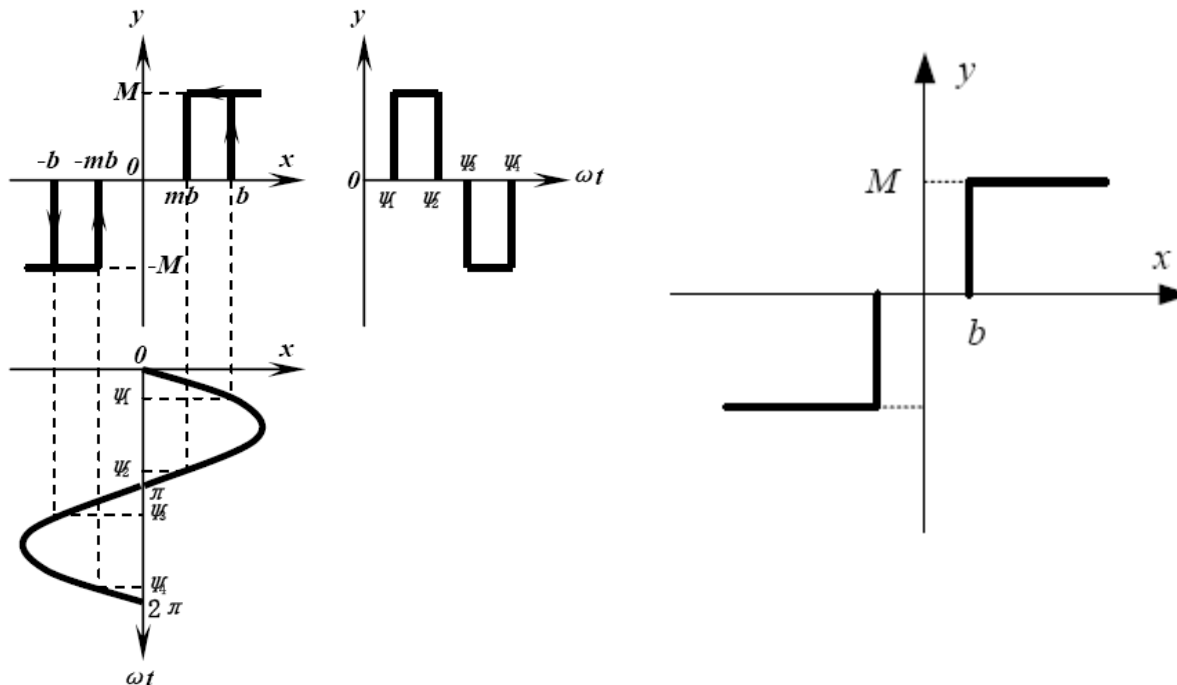
$$N(A) = \frac{4M}{\pi A} \quad (7.6)$$



## 7.1.2 典型非线性特性的描述函数

(7.5)式中,  $m = 1$ , 为具有死区的三位置继电器型特性的描述函数:

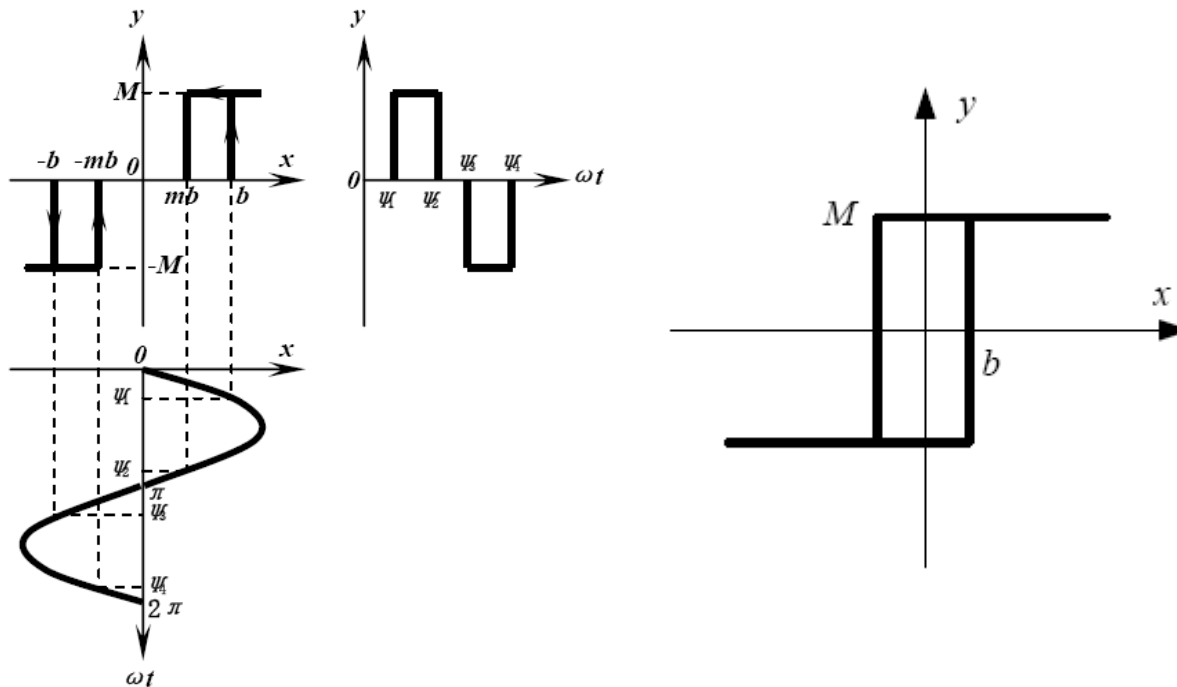
$$N(A) = \frac{4M}{\pi A} \sqrt{1 - \left(\frac{b}{A}\right)^2}, \quad (A \geq b) \quad (7.7)$$



## 7.1.2 典型非线性特性的描述函数

(7.5)式中,  $m = -1$ , 为具有滞环的继电器型特性的描述函数:

$$N(A) = \frac{4M}{\pi A} \sqrt{1 - \left(\frac{b}{A}\right)^2} - j \frac{4Mb}{\pi A^2}, \quad (A \geq b) \quad (7.8)$$





## 7.2 非线性控制系统的描述函数分析

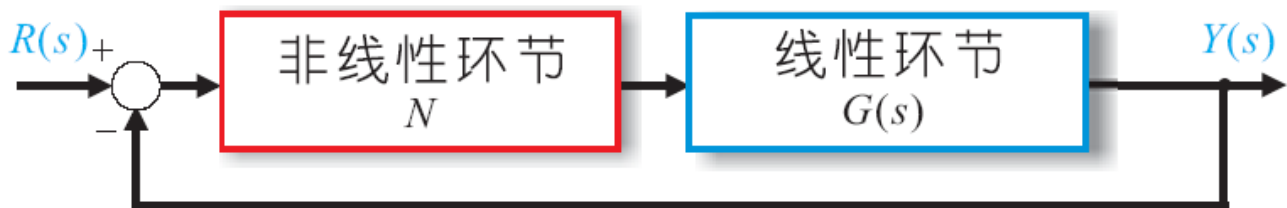
### 基本思路:

满足假定条件下，通过**描述函数**进行非线性环节的谐波线性化；因此，在非线性和控制系统的典型结构中，以描述函数视为非线性环节的**非线性增益**，从而将线性系统的**频域法**，推广用于研究非线性系统，主要用于分析在**无输入信号作用时非线性系统的稳定性和自持振荡问题**。



## 7.2 非线性控制系统的描述函数分析

非线性控制系统的典型结构如下：



**假定：**线性部分具有良好的低通滤波特性，且非线性环节输出的高次谐波分量较小。

若非线性环节是增益为  $k$  的线性放大器，该系统便是线性系统，该线性系统的**特征方程**为：

其频域形式为：

$$kG(s) + 1 = 0$$

$$G(j\omega) = -1/k \quad (7.9)$$



## 7.2 非线性控制系统的描述函数分析

将非线性环节描述函数 $N$ 作为一个非线性增益处理，于是，非线性系统的闭环传函为：

$$\frac{C(s)}{R(s)} = \frac{N(A)G(s)}{1 + N(A)G(s)}$$

非线性系统的  
特征方程为：

$$N(A)G(s) + 1 = 0 \quad (7.10)$$

非线性系统的  
频域形式为：

$$G(j\omega) = -N^{-1}(A) \quad (7.11)$$

$$-N^{-1}(A) = -\frac{1}{N(A)} \quad \text{称为非线性特性的负倒描述函数}$$

## 7.2 非线性控制系统的描述函数分析

应用Nyquist判据, (7.11)式成立, 相当于线性系统中的  $G(j\omega) = -1$  条件成立。

系统稳定的“临界点”：

线性系统:

“-1”

非线性系统:

“- $N^{-1}(A)$ ”曲线

由

$$Z = N + P$$

$G(s)$ 在 $s$ 右半平面的  
极点数

线性化闭环系  
统在 $s$ 右半平面  
的极点数

$G(j\omega)$ 的Nyquist轨迹  
顺时针包围“- $N^{-1}(A)$ ”  
曲线的周数

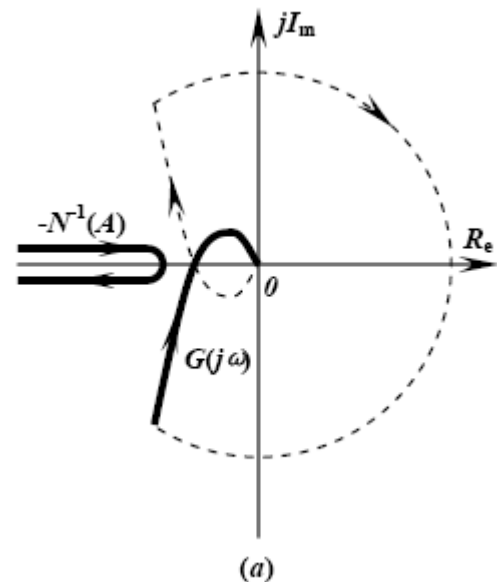
## 7.2 非线性控制系统的描述函数分析

### 推广的Nyquist判据:

设非线性系统的线性部分  $G(s)$  是最小相位的, 于是, 闭环系统稳定的条件为  $N = 0$ .

当  $s$  在  $s$  平面上顺时针方向沿D型围线变化一周时:

- 1) 若  $G(j\omega)$  曲线不包围 “ $-N^{-1}(A)$ ” 曲线 (图a所示)  
则非线性系统是稳定的



## 7.2 非线性控制系统的描述函数分析

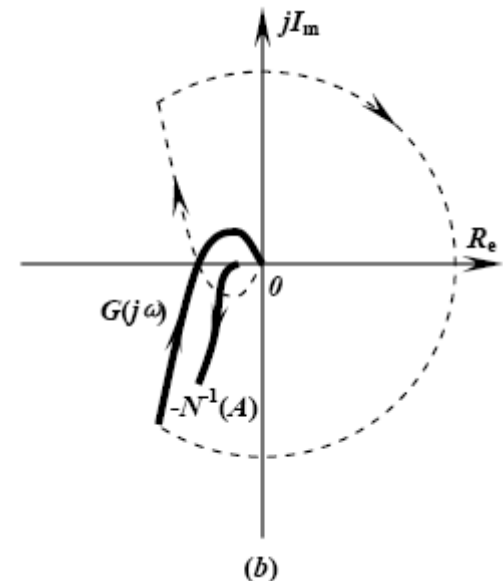
### 推广的Nyquist判据:

设非线性系统的线性部分  $G(s)$  是最小相位的, 于是, 闭环系统稳定的条件为  $N = 0$ .

当  $s$  在  $s$  平面上顺时针方向沿D型围线变化一周时:

2) 若  $G(j\omega)$  曲线包围 “ $-N^{-1}(A)$ ” 曲线 (图b所示)

则非线性系统是不稳定的



## 7.2 非线性控制系统的描述函数分析

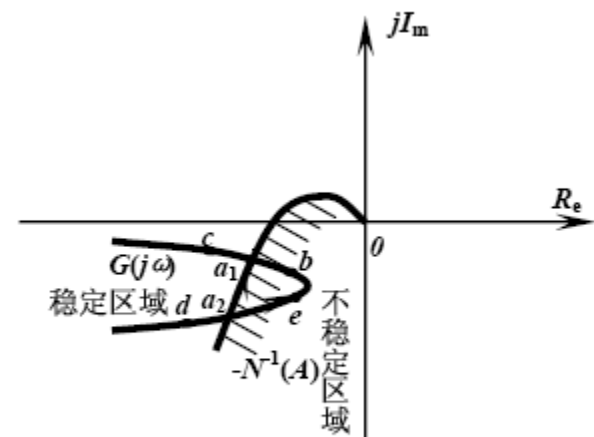
### 推广的Nyquist判据:

设非线性系统的线性部分  $G(s)$  是最小相位的, 于是, 闭环系统稳定的条件为  $N = 0$ .

当  $s$  在  $s$  平面上顺时针方向沿D型围线变化一周时:

3) 若  $G(j\omega)$  曲线与 “ $-N^{-1}(A)$ ” 曲线相交 (图c所示)

则非线性系统可能出现  
自持振荡



(c)



## 7.2 非线性控制系统的描述函数分析

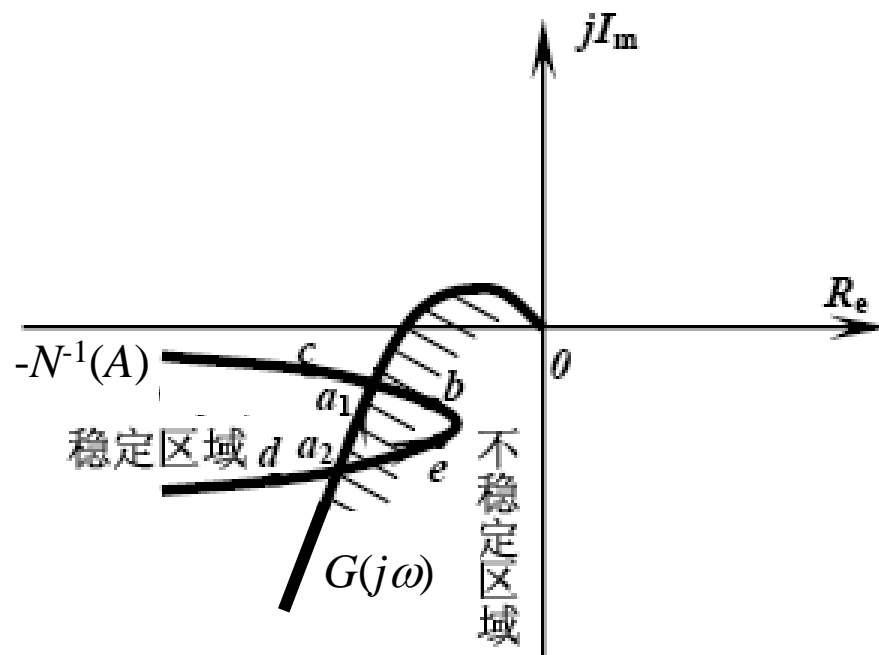
(若非线性系统的线性部分  $G(s)$  是非最小相位系统，则系统闭环稳定的条件为  $N = -P$ .)

自持振荡可用一个正弦振荡来近似，振荡的频率和振幅，分别由交点处的  $G(j\omega)$  曲线上的  $\omega$  值和 “ $-N^{-1}(A)$ ” 曲线上的  $A$  值来确定。

正弦振荡存在表明非线性系统存在周期解，可用Nyquist判据分析其稳定性。只有稳定的正弦振荡才能近似表示非线性系统实际存在的自持振荡：稳定的自持振荡(极限环)可通过试验观察到，而不稳定的自持振荡却观察不到。

## 7.2 非线性控制系统的描述函数分析

如图c所示:  $-N^{-1}(A)$  曲线上,  $a_1$  和  $a_2$  点对应的  $A_1$  和  $A_2$ , 振幅增大方向为  $a_2 \rightarrow a_1$  即  $A_2 < A_1$ .



(c)

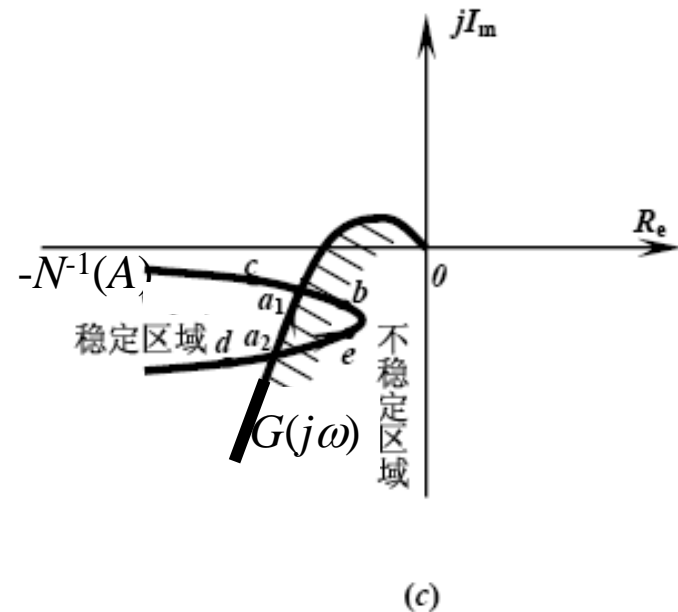


## 7.2 非线性控制系统的描述函数分析

在 $a_1$ 点:

扰动, 使 $A \downarrow$ :  $a_1$ 点 $\rightarrow$   $b$ 点,  $b$ 点被 $G(j\omega)$ 轨迹包围, 不稳定 $\rightarrow$  振幅 $A \uparrow$ , 工作点 $b$ 点回到 $a_1$ 点;

扰动, 使 $A \uparrow$ :  $a_1$ 点 $\rightarrow$   $c$ 点,  $c$ 点不被 $G(j\omega)$ 轨迹包围, 稳定 $\rightarrow$  振幅 $A \downarrow$ , 工作点 $c$ 点回到 $a_1$ 点;



——  $a_1$ 点具有收敛性。工作点在 $a_1$ 点时系统是稳定的, 呈现稳定的自持振荡: 振幅 $A_1$ , 频率 $\omega_1$ , 该自振可近似表示为:

$$A_1 \sin \omega_1 t$$

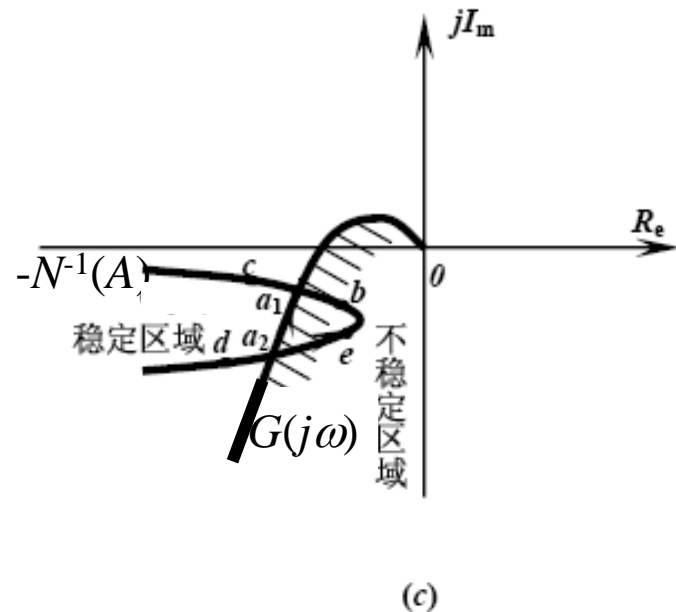
## 7.2 非线性控制系统的描述函数分析

在 $a_2$ 点:

扰动, 使 $A \downarrow$ :  $a_2$ 点 $\rightarrow$   $d$ 点,  $d$ 点不被 $G(j\omega)$ 轨迹包围, 稳定 $\rightarrow$  振幅继续减小, 工作点继续左移, 偏离 $a_2$ 点越来越远;

扰动, 使 $A \uparrow$ :  $a_2$ 点 $\rightarrow$   $e$ 点,  $e$ 点被 $G(j\omega)$ 轨迹包围, 不稳定 $\rightarrow$  振幅继续增大, 工作点继续偏离 $a_2$ 点向 $a_1$ 点运动。

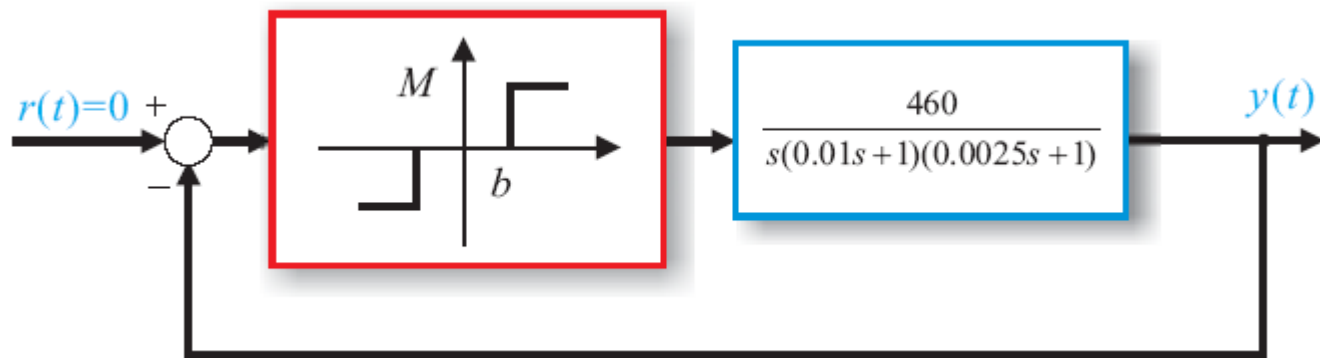
—— $a_2$ 点具有发散性。即 $a_2$ 点周期运动是不稳定的, 是无法维持的。



## 7.2 非线性控制系统的描述函数分析



**<例7.3>** 非线性系统如图所示，其中具有死区的继电器特性的参数为 $M=1.7, b=0.7$ ，试着分析该系统是否存在自振，若存在，求出自振的振幅和频率。



## 7.2 非线性控制系统的描述函数分析

解: 线性部分为最小相位系统, 频率特性为:

$$G(j\omega) = |G(j\omega)|e^{j\varphi(\omega)}$$

$$|G(j\omega)| = \frac{460}{\omega \sqrt{1 + (0.01\omega)^2} \sqrt{1 + (0.0025\omega)^2}}$$

$$\varphi(\omega) = -90^\circ - \operatorname{tg}^{-1} 0.01\omega - \operatorname{tg}^{-1} 0.0025\omega$$

具有死区的继电器特性的描述函数为:

$$N(A) = \frac{4M}{\pi A} \sqrt{1 - \left(\frac{b}{A}\right)^2}, \quad (A \geq b)$$

## 7.2 非线性控制系统的描述函数分析

其中  $M=1.7$ ,  $b=0.7$  可得到**负倒描述函数**为:

$$-N^{-1}(A) = -\frac{\pi A}{6.8} \frac{1}{\sqrt{1 - \left(\frac{b}{A}\right)^2}}, \quad (A \geq b)$$

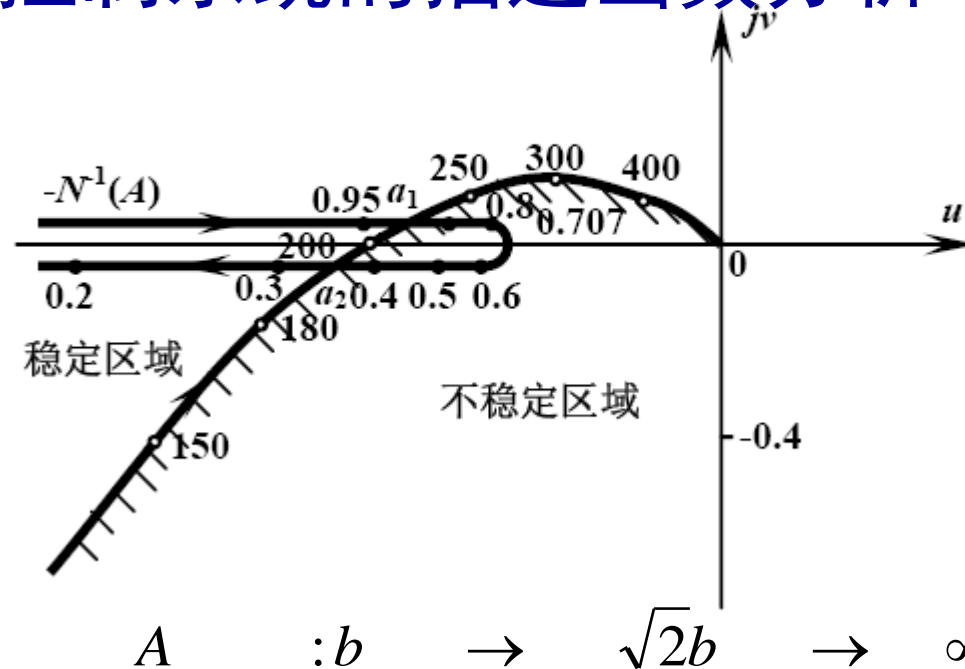
$$A \rightarrow b : -N^{-1}(b) = -\infty$$

$$A \rightarrow \infty : -N^{-1}(\infty) = -\infty$$

$$\frac{d(-N^{-1}(A))}{dA} = \frac{d}{dA} \left[ -\frac{\pi}{6.8} \frac{A^2}{\sqrt{A^2 - b^2}} \right] = -\frac{\pi A}{6.8} \frac{A^2 - 2b^2}{(A^2 - b^2)^{\frac{3}{2}}}$$

$$\text{令 } \frac{d(-N^{-1}(A))}{dA} = 0, \text{ 得: } A = \sqrt{2}b, (A \geq b)$$

## 7.2 非线性控制系统的描述函数分析



$$-N^{-1}(A) : -\infty \rightarrow \text{极大值} \rightarrow -\infty$$

$$b = 0.7, A = \sqrt{2}b = 0.99 \text{ 吋}$$

$$-N^{-1}(A) = -N^{-1}(\sqrt{2}b) = -\frac{\pi\sqrt{2}b}{6.8} \frac{1}{\sqrt{1-1/2}} = -0.647$$



## 7.2 非线性控制系统的描述函数分析

计算  $G(j\omega)$  与  $-N^{-1}(A)$  的交点:

a) 由  $\varphi(\omega)$  计算:  $\varphi(\omega)=-180^\circ$  时,  
 $\omega=200\text{rad/s}$ ,  $|G(j\omega)|_{\omega=200}=0.92$

b) 计算  $-N^{-1}(A)=-0.92$  时的A值:  
本例中有两个交点( $a_1, a_2$ ), 对应于两个A值:

$b/A$	0.9	0.93	0.92	0.925
$-N^{-1}(A)$	-0.824	-0.946	-0.897	-0.920

$$b/A = 0.925 \quad A = 0.7/0.925 = 0.757 \text{ (} a_1 \text{ 处)}$$

$b/A$	0.3	0.4	0.38
$-N^{-1}(A)$	-1.13	-0.88	-0.920

$$b/A = 0.38 \quad A = 0.7/0.38 = 1.842 \text{ (} a_2 \text{ 处)}$$



## 7.2 非线性控制系统的描述函数分析

因此  $G(j\omega)$  与  $-N^{-1}(A)$  有两个交点:

$a_1$  处:  $\omega=200\text{rad/s}$ ,  $A_1=0.757$

$a_2$  处:  $\omega=200\text{rad/s}$ ,  $A_2=1.842$

线性化系统有两个等效正弦振荡:

- (1)  $1.842\sin 200t$  为稳定的自持振荡(极限环);
- (2)  $0.757\sin 200t$  为不稳定的振荡.

由例题分析可以知道,在进行非线性系统描述函数法分析时,掌握非线性特性的负倒描述函数

$-N^{-1}(A)$  及其与线性部分  $G(j\omega)$  的交点是分析计算中的关键。



## 7.2 非线性控制系统的描述函数分析

例如，设  $\mathbf{G}(j\omega)$  为最小相位系统，

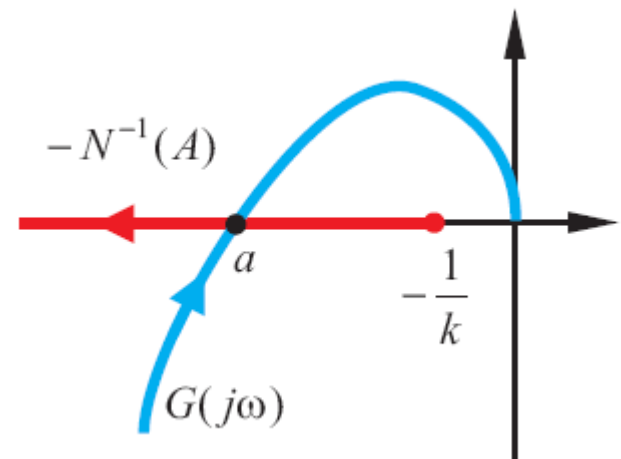
### 1) 饱和非线性特性

$$-N^{-1}(A) = \frac{-\pi}{2k \left[ \sin^{-1} \frac{b}{A} + \frac{b}{A} \sqrt{1 - \left( \frac{b}{A} \right)^2} \right]}, (A \geq b)$$

$A = b$  时，  $-N^{-1}(A) = -1 / k$

$A \rightarrow \infty$  时，  $-N^{-1}(A) \rightarrow -\infty$

交点  $a$  为稳定的自持振荡。



## 7.2 非线性控制系统的描述函数分析

例如，设  $G(j\omega)$  为最小相位系统，

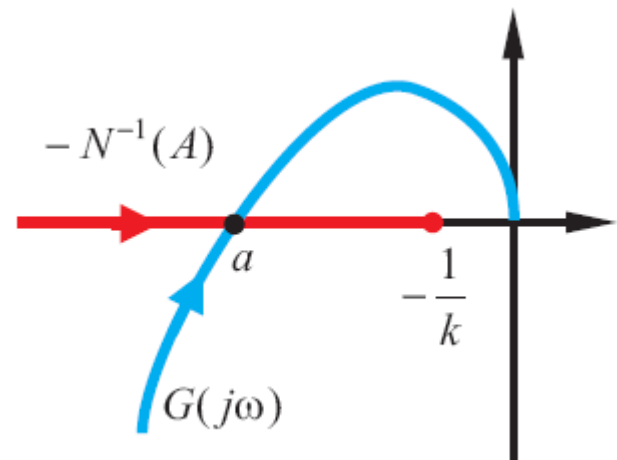
### 2) 死区非线性特性

$$-N^{-1}(A) = \frac{-\pi}{2k \left[ \frac{\pi}{2} - \sin^{-1} \frac{\Delta}{A} + \frac{\Delta}{A} \sqrt{1 - \left( \frac{\Delta}{A} \right)^2} \right]}, (A \geq \Delta)$$

$A = \Delta$  时， $-N^{-1}(A) \rightarrow -\infty$

$A \rightarrow \infty$  时， $-N^{-1}(A) = -1/k$

交点  $a$  为不稳定的振荡。





## 7.3 相平面法

相平面法由波恩凯若(Poincare)于1885年提出。

相平面法的基本思想：

将系统运动过程转化为在状态空间中系统状态转移的轨迹，通过绘制和研究从不同的初始状态出发的状态轨迹，获知系统运动的有关信息。

相平面法通常只用于分析二阶系统。



## 7.3.1 相平面法的基本概念

设二阶自治系统

$$\ddot{x} = f(x, \dot{x}) \quad (7.12)$$

令  $x_1 = x, x_2 = \dot{x}_1 = \dot{x}$ , 于是可得

$$\begin{cases} \dot{x}_1 = x_2 = \dot{x} = \frac{dx}{dt} \end{cases} \quad (7.13)$$

$$\begin{cases} \dot{x}_2 = \ddot{x} = \frac{d\dot{x}}{dt} = f(x, \dot{x}) \end{cases} \quad (7.14)$$

由(7.13), (7.14)式可得:

$$\frac{d\dot{x}}{dx} = \frac{f(x, \dot{x})}{\dot{x}} \quad (7.15)$$



## 7.3.1 相平面法的基本概念

取  $x$  为横坐标,  $\dot{x}$  为纵坐标, 构成的二维状态空间称为**相平面**, 对应的状态轨迹称为**相轨迹**, 而  $\frac{d\dot{x}}{dx}$  是相轨迹的斜率。

当  $\dot{x} = 0$  且  $\ddot{x} = f(x, \dot{x}) = 0$  的点称为**奇点**, 奇点处的相轨迹斜率  $\frac{d\dot{x}}{dx} = \frac{0}{0}$  为不定的。其他的点称为**普通点**。  
系统的平衡状态(平衡点)是奇点。



## 7.3.2 二阶线性系统的自由运动

通过分析二阶线性系统的自由运动，说明相平面分析的基本特点和奇点的意义。

二阶系统的齐次方程(自治系统)

$$\ddot{x} + 2\zeta\omega\dot{x} + \omega^2 x = 0 \quad (7.16)$$

取  $x_1 = x, x_2 = \dot{x}_1 = \dot{x}$ , 则

$$\begin{cases} \dot{x}_1 = x_2 \\ \dot{x}_2 = -\omega^2 x_1 - 2\zeta\omega x_2 \end{cases} \quad (7.17)$$

$$(7.18)$$

系统的相轨迹方程

$$\frac{d\dot{x}}{dx} = -\frac{2\zeta\omega\dot{x} + \omega^2 x}{\dot{x}} \quad (7.19)$$



## 7.3.2 二阶线性系统的自由运动

$$\text{令 } \frac{dx}{dt} = 0 \text{ 和 } \frac{d\dot{x}}{dt} = 0,$$

可得到其解为:  $x = 0, \dot{x} = 0$

即系统的奇点(平衡状态)位于相平面的原点(0, 0)

分别讨论奇点类型:

1)

$$\zeta = 0$$

$$\frac{d\dot{x}}{dx} = -\omega^2 \frac{x}{\dot{x}}$$

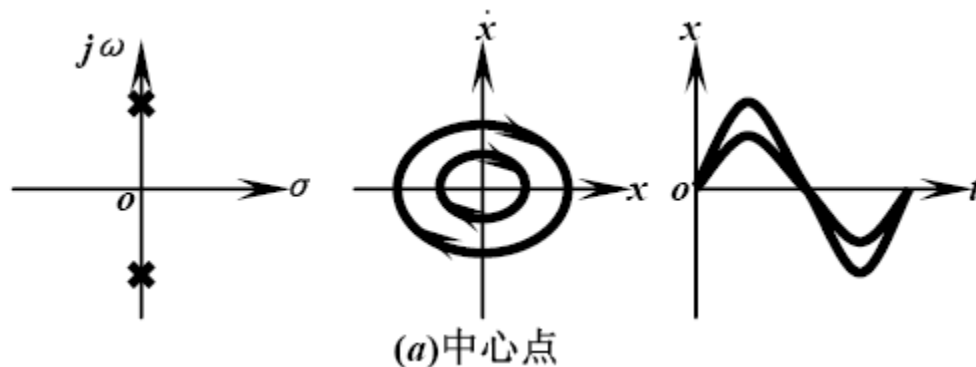
$$\dot{x}d\dot{x} = -\omega^2 xdx$$

## 7.3.2 二阶线性系统的自由运动

积分后可得系统相轨迹方程:

$$\left(\frac{x}{C}\right)^2 + \left(\frac{\dot{x}}{C\omega}\right)^2 = 1 \quad (7.20)$$

式中  $C = \sqrt{x_0^2 + (\dot{x}_0 / \omega)^2}$  为由初始状态  $x_0, \dot{x}_0$  决定的积分常数。这是一个椭圆方程。相轨迹为一簇围绕奇点的椭圆形封闭曲线，系统的自由运动为等幅正弦振荡这种类型的奇点称为**中心点**。





## 7.3.2 二阶线性系统的自由运动

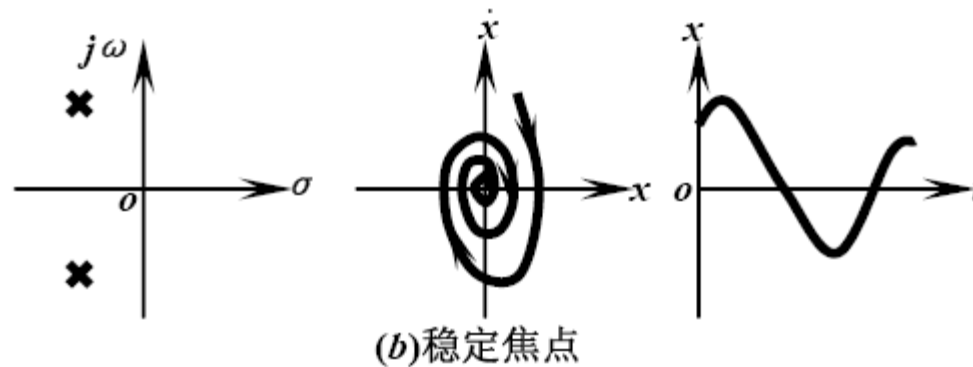
2)  $0 < \zeta < 1$

方程(7.16)的解为：

$$x(t) = ce^{-\zeta\omega t} \cos(\omega\sqrt{1-\zeta^2}t + \varphi) \quad (7.21)$$

式中  $c, \varphi$  是由初始状态  $x_0, \dot{x}_0$  决定的常数。

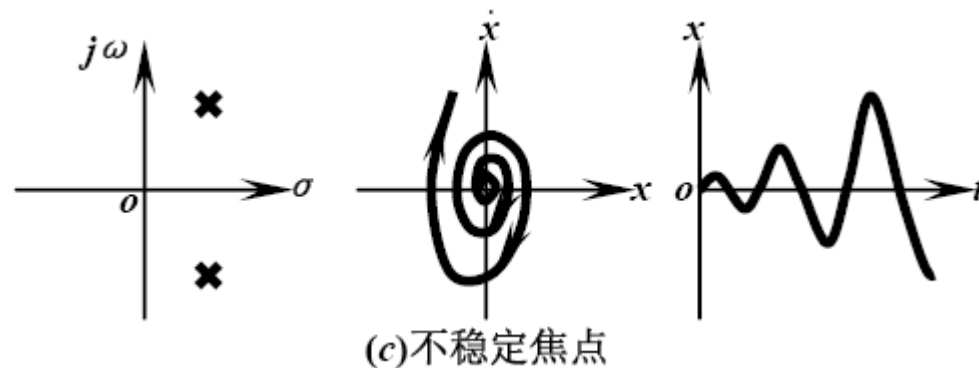
系统相轨迹是由外向奇点趋近的一簇向心的对数螺旋线，系统的自由运动为衰减振荡。这种类型的奇点称为**稳定焦点**。



## 7.3.2 二阶线性系统的自由运动

3)  $-1 < \zeta < 0$

相轨迹是背离奇点向外发散的一簇对数螺旋线，系统的自由运动规律是发散振荡的。这种类型的奇点称为不稳定焦点。





## 7.3.2 二阶线性系统的自由运动

4)  $\zeta > 1$

方程(7.16)的解为：

$$x(t) = c_1 e^{\lambda_1 t} + c_2 e^{\lambda_2 t} \quad (7.22)$$

式中：

$\lambda_1, \lambda_2 = -\zeta\omega \pm \omega\sqrt{\zeta^2 - 1}$  为系统的两个负实根；

$c_1, c_2$  为由初始状态决定的常数：

$$c_1 = \frac{x_0 \lambda_2 - \dot{x}_0}{\lambda_2 - \lambda_1}, \quad c_2 = \frac{\dot{x}_0 - x_0 \lambda_1}{\lambda_2 - \lambda_1}$$

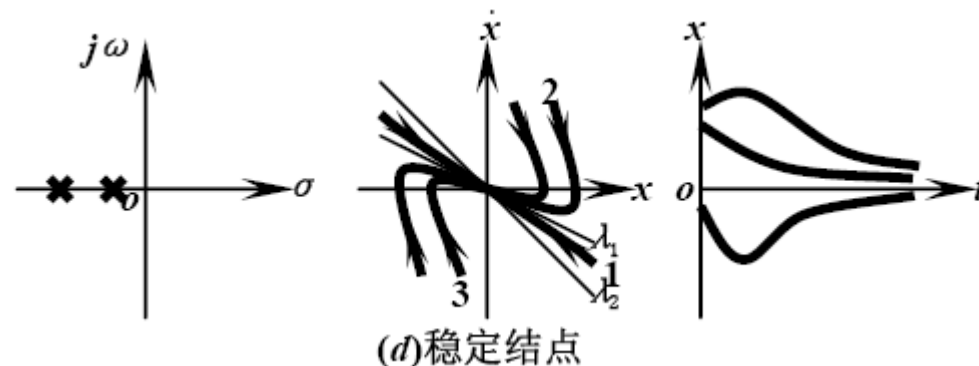
## 7.3.2 二阶线性系统的自由运动

相轨迹为通过奇点的一簇抛物线。这种类型的奇点称为稳定结点。

初始状态不同时，出现两簇相轨迹1和2：

相轨迹簇1：  $x, \dot{x}$  不变号

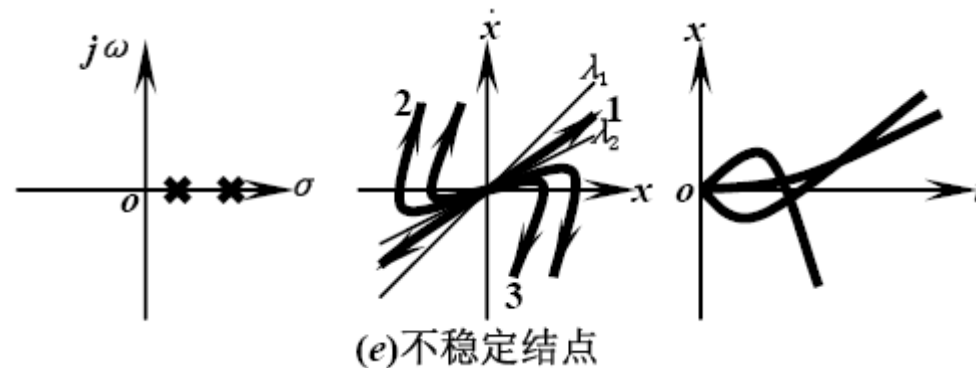
相轨迹簇2：  $\dot{x}$  变号一次， $x$  可能变号也可能不变号。



## 7.3.2 二阶线性系统的自由运动

5)  $\zeta < -1$

此时系统的极点为两个正实根，相轨迹的走向是背离奇点向外发散的，系统的自由运动规律是非周期发散的。此类型的奇点称为**不稳定结点**。



## 7.3.2 二阶线性系统的自由运动

### 6) 正反馈系统

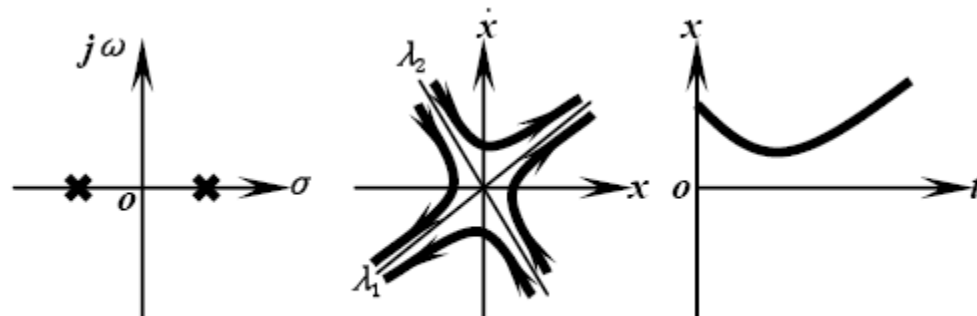
此时，二阶系统自由运动方程为：

$$\ddot{x} + 2\zeta\omega\dot{x} - \omega^2 x = 0 \quad (7.23)$$

系统极点为两个异号的实根

$$x_{1,2} = -\zeta\omega \pm \omega\sqrt{\zeta^2 + 1}$$

系统的自由运动的规律为非周期发散的。这种类型的奇点称为**鞍点**。



(f) 鞍点



## 7.3.2 二阶线性系统的自由运动

奇点的类型，决定了系统在奇点附近运动的性质。

线性二阶系统只有一个奇点(即一个平衡状态)，因而奇点的类型完全决定了系统自由运动的基本特性。



## 7.3.3 由相图求系统的时间响应特性

相轨迹图表示出系统状态变量之间的关系，时间信息隐含其中，可由相轨迹图获取时间信息。

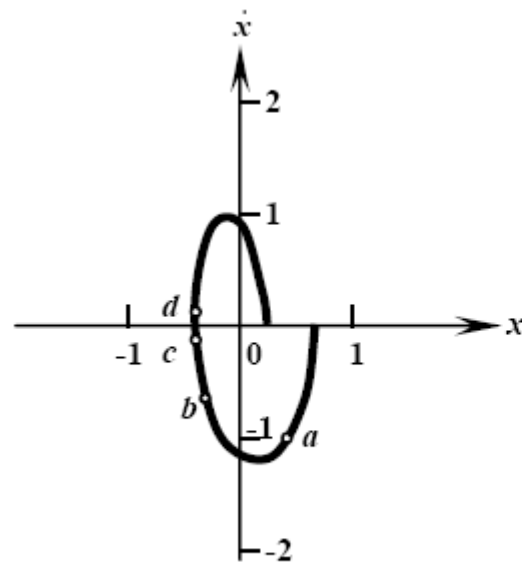
$$\frac{dx}{dt} = \dot{x}, \quad dt = \frac{1}{\dot{x}} dx$$
$$t_{ab} = t_b - t_a = \int_{x_a}^{x_b} \frac{1}{\dot{x}} dx \quad (7.24)$$



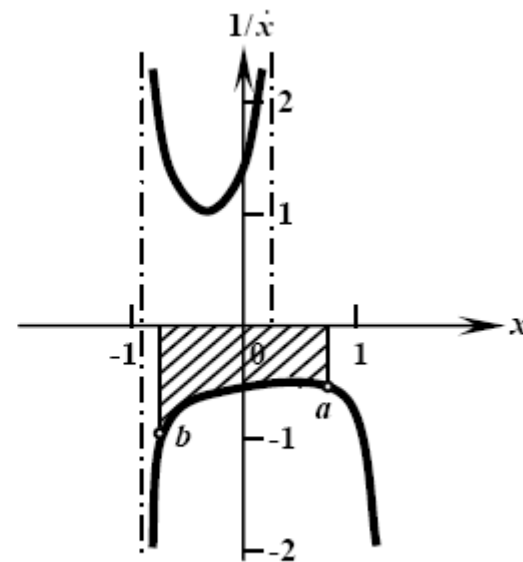
## 7.3.3 由相图求系统的时间响应特性

1) 积分法——利用  $\frac{1}{\dot{x}}$  曲线计算时间

设系统相轨迹如图(a)所示，则可给出  $\frac{1}{\dot{x}} \sim x$  的关系曲线如图(b)所示。 $b$ 点至 $a$ 点曲线的积分即为 $t_{ab}$ 。



(a)



(b)



### 7.3.3 由相图求系统的时间响应特性

在  $\Delta x$  区间内  $\dot{x}$  的值变化不大时，以增量作为近似计算，即为“增量法”。

$$\Delta t = \frac{1}{\dot{x}_{av}} \Delta x \quad (7.25)$$

其中  $\dot{x}_{av}$  为该区间内  $\dot{x}$  的平均值。

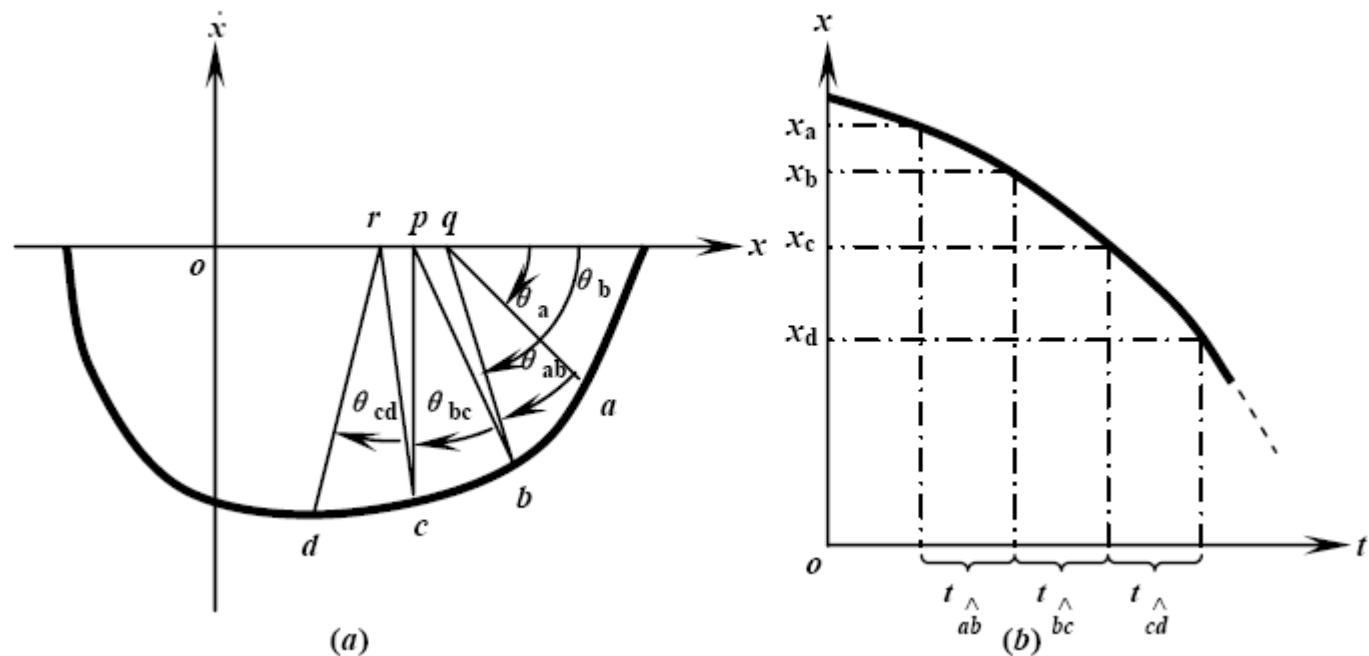
当  $\dot{x}$  的值很小时(图(a)中,  $c, d$  段),  $\frac{1}{\dot{x}}$  的值将变得很大, 积分法难以应用。

## 7.3.3 由相图求系统的时间响应特性

### 2) 圆弧法

设系统相轨迹图如图(a)所示:

用圆心位于 $x$ 轴上的一系列小圆弧来近似表示所研究的相轨迹段。





### 7.3.3 由相图求系统的时间响应特性

从*a*点运动到*d*点所需的时间 $t_{ad}$

$$t_{ad} = t_{ab} + t_{bc} + t_{cd} \approx t_{ab}^{\cap} + t_{bc}^{\cap} + t_{cd}^{\cap}$$

而  $t_{ab}^{\cap}$  等比较容易计算。如  $t_{ab}^{\cap}$  :

$$\dot{x} = \overline{q}a \sin \theta_a, \quad x = \overline{o}q + \overline{q}a \cos \theta_a,$$

代入(7.24)式, 可得

$$t_{ab} = \int_{x_a}^{x_b} \frac{1}{\dot{x}} dx = \int_{\theta_a}^{\theta_b} \frac{\overline{q}a \sin \theta}{\overline{q}a \sin \theta} d\theta = \theta_a - \theta_b = \theta_{ab}^{\cap} \quad (7.26)$$



### 7.3.3 由相图求系统的时间响应特性

上式表明，若角度以弧度为单位，时间以秒为单位，则在数值上等于小圆弧  $t_{ab}^{\cap}$  所对应的中心角  $\hat{a}b$

测量  $\theta_{ab}^{\cap}$  及对应的  $x$  值，可绘制出系统的时间响应曲线，如图(b)所示。

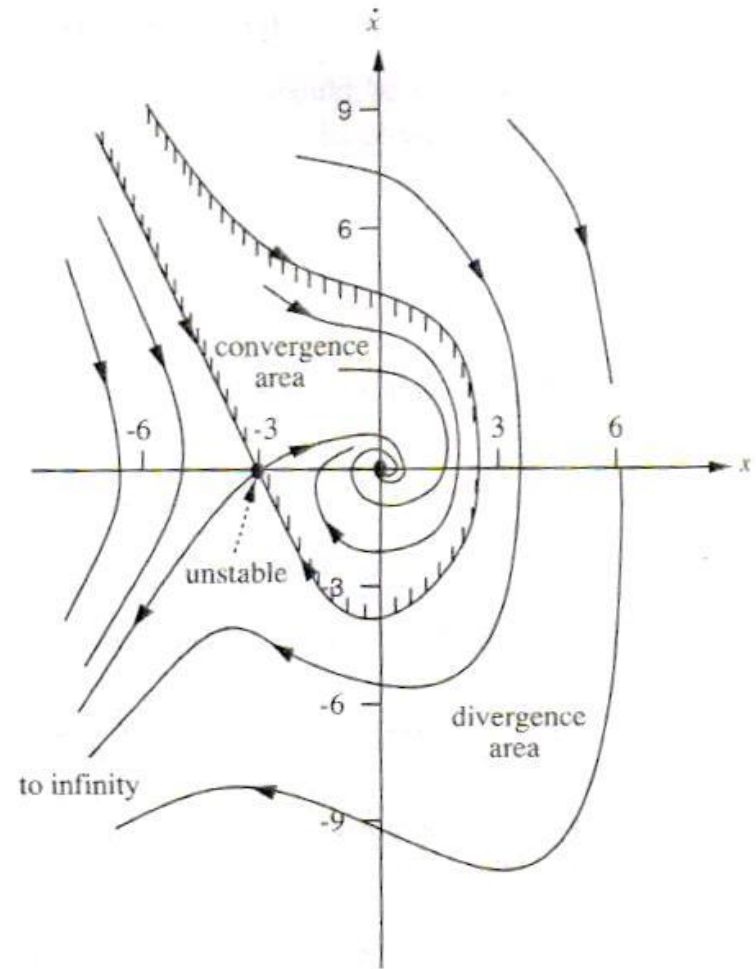
$$\theta_{ab}^{\cap}, \theta_{bc}^{\cap}, \theta_{cd}^{\cap}$$

# 非线性系统的相平面图

- 下列系统有两个奇点，即稳定的平衡点  $(0, 0)$  和不稳定平衡点  $(-3, 0)$

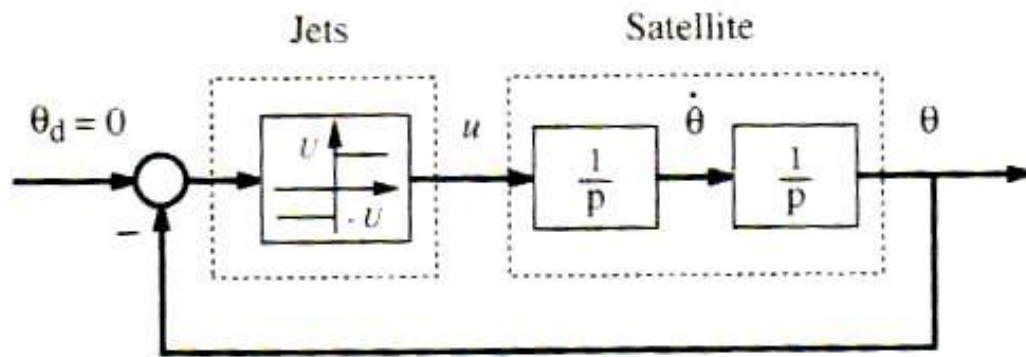
$$\ddot{x} + 0.6\dot{x} + 3x + x^2 = 0$$

- 在奇点处，多条相轨迹相交，无法确定系统轨迹之斜率，故名为“奇点”



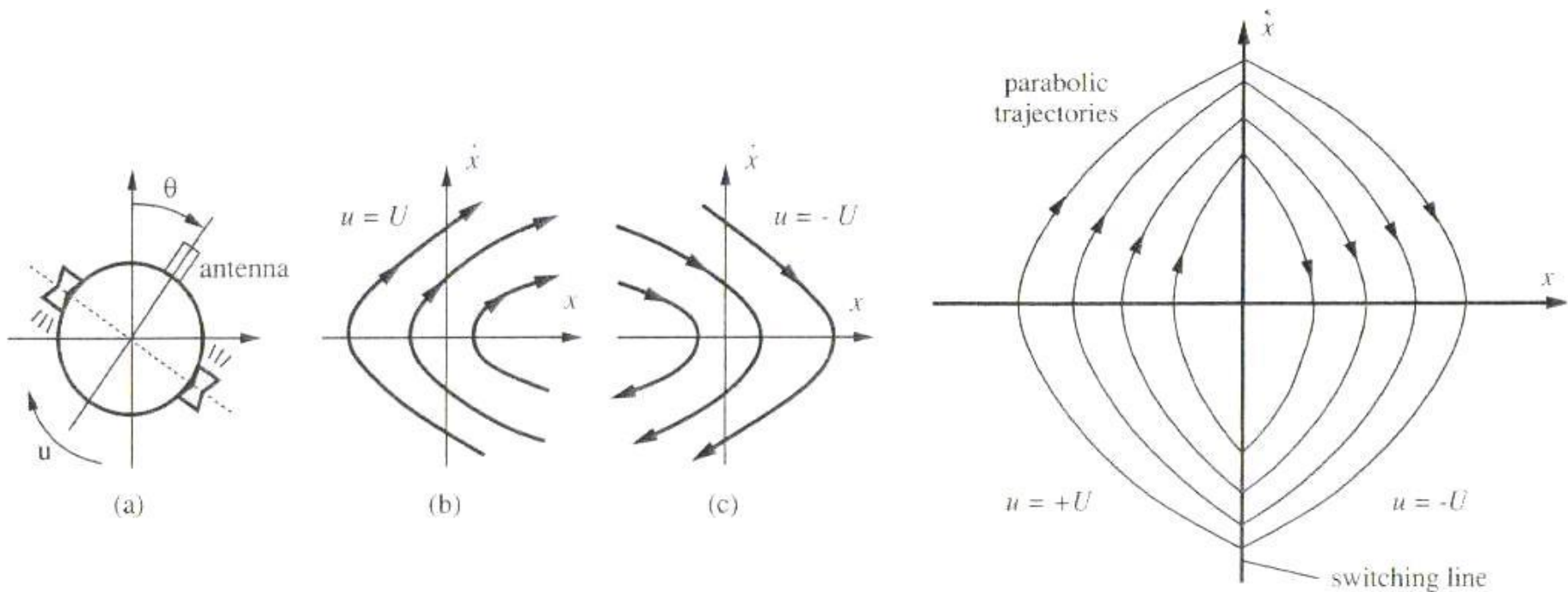
# 卫星姿态控制系统

- 卫星姿态的动态为双积分器
- 可采用响应轮、陀螺仪、磁铁、喷射推进器等控制
- 喷射推进器通过喷射气体（流量恒定）来改变卫星星体转动状态 → 执行机构呈现理想继电特性



# 卫星姿态控制系统

- 当角位置符号发生变化，即 $\dot{x}/dt=0$ 时，喷气推进器输出切换，切换线为相平面图中的 $\dot{x}/dt$ 轴
- 若角位置初始状态不为零，则卫星姿态将呈周期性振动





# 卫星姿态控制系统

- 引入速度反馈，可实现姿态稳定

